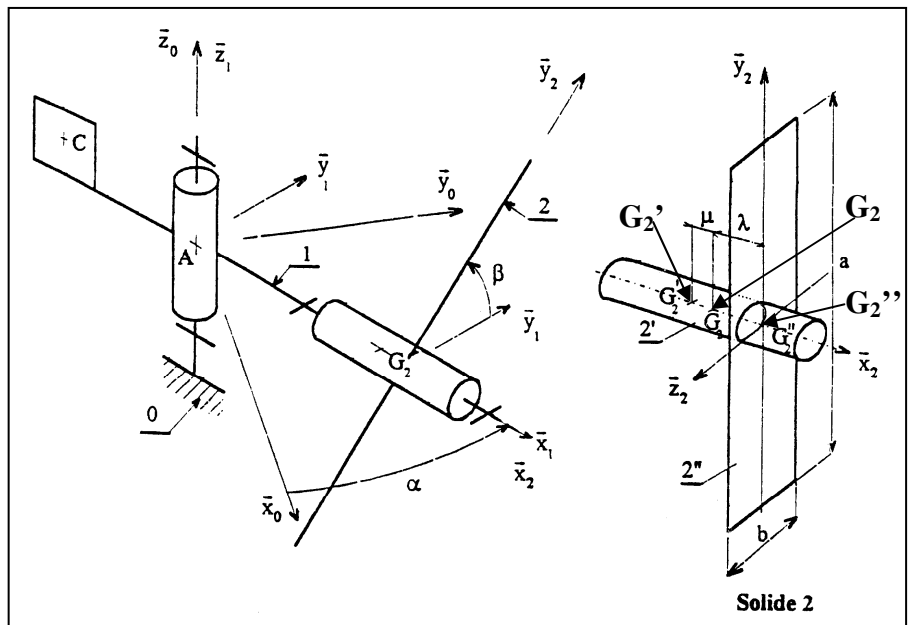


EOLIENNE

Présentation

Une schématisation simplifiée d'une éolienne peut être donnée par l'ensemble constitué :

- d'un bâti 0,
- d'un solide 1 (bloc oscillant) en liaison pivot d'axe (A, \vec{z}_0) avec le bâti 0,
- d'un solide 2 (hélice et rotor de génératrice) en liaison pivot d'axe (A, \vec{x}_1) avec le solide 1.



Paramétrage

A chaque solide i est associé un repère de base orthonormée directe $(\vec{x}_i, \vec{y}_i, \vec{z}_i)$.

On pose : $\vec{z}_0 = \vec{z}_1$ avec $\alpha = (\vec{x}_0, \vec{x}_1) = (\vec{y}_0, \vec{y}_1)$ et : $\vec{x}_1 = \vec{x}_2$ avec $\beta = (\vec{y}_1, \vec{y}_2) = (\vec{z}_1, \vec{z}_2)$.

Solide 1 : homogène de masse m_1 , de centre d'inertie A, admet $(A, \vec{x}_1, \vec{z}_1)$ comme plan de symétrie matériel ; $\overrightarrow{CA} = h\vec{x}_{1(2)} + \Delta\vec{z}_{1(0)}$.

Solide 2 : homogène de masse m_2 , de centre d'inertie G_2 avec $\overrightarrow{AG_2} = L\vec{x}_1$. Ce solide est constitué de :

- d'un cylindre plein $2'$ d'axe (A, \vec{x}_2) de masse m_2' , de centre d'inertie G_2' avec $\overrightarrow{G_2'G_2} = \mu\vec{x}_2$, de hauteur H et de rayon R,
- d'une plaque rectangulaire $2''$ de masse m_2'' , de centre d'inertie G_2'' avec $\overrightarrow{G_2G_2''} = \lambda\vec{x}_2$, de côté a suivant (G_2'', \vec{y}_2), de côté b suivant (G_2'', \vec{z}_2) et d'épaisseur négligeable.

On a $\mu > 0, \lambda > 0$ et $m_2 = m_2' + m_2''$.

Hypothèses : le bâti est galiléen et les liaisons sont parfaites.

Notations : L'opérateur d'inertie d'un solide i , exprimé en A dans la base i , sera noté :

$$I(A, i) = \begin{bmatrix} A_i & -F_i & -E_i \\ -F_i & B_i & -D_i \\ -E_i & -D_i & C_i \end{bmatrix}_{(\vec{x}_i, \vec{y}_i, \vec{z}_i)} .$$

Le torseur d'actions extérieures au solide i sera noté : $\left\{ \begin{array}{l} \overrightarrow{R(Ext./i)} = X_i \vec{x}_i + Y_i \vec{y}_i + Z_i \vec{z}_i \\ \overrightarrow{M(O, Ext/i)} = L_i \vec{x}_i + M_i \vec{y}_i + N_i \vec{z}_i \end{array} \right\}_O$

Actions extérieures au système (supposées connues) autres que les actions de liaisons :

- vent et génératrice sur l'hélice 2 : $\left\{ \begin{array}{l} \overrightarrow{R(Vent/2)} = X_v \vec{x}_2 + Y_v \vec{y}_2 + Z_v \vec{z}_2 \\ \overrightarrow{M(G_2, Vent/2)} = L_v \vec{x}_2 + M_v \vec{y}_2 + N_v \vec{z}_2 \end{array} \right\}_{G_2}$

- vent sur le solide 1 : $\left\{ \begin{array}{l} \overrightarrow{R(Vent/1)} = -F_v \sin(\alpha) \vec{x}_0 \\ \overrightarrow{M(C, vent/1)} = \vec{0} \end{array} \right\}_C$

I. Etude cinématique :

1. Rédiger les figures planes qui modélisent les différents changements de base, en déduire $\overrightarrow{\Omega(1/0)}$ et $\overrightarrow{\Omega(2/1)}$.
2. Rédiger le graphe des liaisons et exprimer les torseurs cinématiques $V(1/0), V(2/1)$ et $V(2/0)$.
3. Déterminer $\overrightarrow{V(G_2,2/0)}$.

II. Modélisation statique :

4. Ecrire les torseurs d'actions de liaison $F(0/1)$ et $F(1/2)$. Vous préciserez dans quelle(s) base(s) et en quel(s) point(s) ils peuvent être écrits et choisissez la base et le point le plus judicieux.

III. Etude cinétique :

5. Donner la forme de l'opérateur d'inertie en A du solide 1 dans la base 1 : $I(A,1)$.
6. Déterminer la relation entre λ et μ .

Pour le solide 2, on ne va s'intéresser, dans un premier temps, qu'à la forme de l'opérateur d'inertie.

7. Donner la forme de l'opérateur d'inertie en G_2' du solide 2' dans la base 2 : $I(G_2',2')$.
8. Donner la forme de l'opérateur d'inertie en G_2'' du solide 2'' dans la base 2 : $I(G_2'',2'')$.
9. Donner la forme de l'opérateur d'inertie en G_2 du solide 2 dans la base 2 : $I(G_2,2)$. Exprimer les termes de cet opérateur en fonction des termes des questions 7 et 8.

On va maintenant calculer les différents termes des matrices d'inertie en fonction des données.

10. Calculer les valeurs des différents termes des opérateurs d'inertie des questions 7,8 et 9 en fonction des masses (m_2 , m_2' et m_2'') et des paramètres dimensionnels.

Pour la suite de l'exercice, vous prendrez $I(G_2,2) = \begin{bmatrix} A_2 & 0 & 0 \\ 0 & B_2 & 0 \\ 0 & 0 & C_2 \end{bmatrix}_{(\overrightarrow{x_2}, \overrightarrow{y_2}, \overrightarrow{z_2})}$.

11. Déterminer le moment cinétique en A du solide 1 dans son mouvement par rapport au repère galiléen : $\overrightarrow{\sigma(A,1/0)}$.
12. Déterminer la projection sur $\overrightarrow{z_0}$ du moment dynamique en A du solide 1 dans son mouvement par rapport au repère galiléen : $\overrightarrow{\delta(A,1/0)} \cdot \overrightarrow{z_0}$.
13. Déterminer le moment dynamique en A du solide 1 dans son mouvement par rapport au repère galiléen : $\overrightarrow{\delta(A,1/0)}$.
14. Déterminer le moment cinétique en G_2 du solide 2 dans son mouvement par rapport au repère galiléen : $\overrightarrow{\sigma(G_2,2/0)}$.
15. Déterminer la projection sur $\overrightarrow{x_1}$ du moment dynamique en G_2 du solide 2 dans son mouvement par rapport au repère galiléen : $\overrightarrow{\delta(G_2,2/0)} \cdot \overrightarrow{x_1}$.
16. Déterminer la projection sur $\overrightarrow{z_{1(0)}}$ du moment dynamique en A du solide 2 dans son mouvement par rapport au repère galiléen : $\overrightarrow{\delta(A,2/0)} \cdot \overrightarrow{z_{1(0)}}$.
17. Calculer l'énergie cinétique des solides 1 et 2 par rapport au repère galiléen : $T(1/0)$ et $T(2/0)$.

IV. Etude dynamique :

18. Donner, sans développer les calculs, les deux équations scalaires définissant les mouvements.
19. Développer et déterminer ces équations en fonction des données du problème.